

بررسی‌های ژئوشیمی و رادیوایزوتوپی برای تعیین خاستگاه آپاتیت در ذخایر آهن و آپاتیت منطقه‌ی معدنی بافق

فرهاد محمدتراب*

دانشکده مهندسی معدن و متالورژی، دانشگاه یزد

(دریافت مقاله: ۸۸/۸/۲، نسخه نهایی: ۸۸/۱۲/۲۵)

چکیده: ذخایر آهن-آپاتیت منطقه‌ی معدنی بافق حاوی مقادیر بالای از عناصر نادر خاکی بوده و همراه با دگرسانی گستردگی در سنگ دیواره‌ی ناشی از فرآیندهای گستردگی گرمابی در کامبرین زیرین شکل گرفته است. ژئوشیمی آپاتیت و عناصر نادر خاکی همراه با بررسی‌های ایزوتوپ‌های رادیواکتیو Sm-Nd در این ذخایر نشان می‌دهد که آپاتیت موجود در این ذخایر در اثر فرآیندهای گرمابی و شسته شدن فسفریت‌های رسویی هم عصر و یا قدیمی‌تر و نهشته شدن دیواره‌ی آن‌ها به صورت رگه‌های مختلف به همراه ذخایر آهن شکل گرفته است. این فرآیندهای گرمابی گستردگی در منطقه‌ی بافق در اثر نفوذ توده‌های آذرین گرانیتی و به صورت محلی دیوریتی در زمان کامبرین زیرین رخ داده است که باعث کانی سازی‌های گستردگی از آهن-آپاتیت و برخی کانی‌های نادر خاکی همراه با آپاتیت و تشکیل هاله‌های گستردگی دگرسانی (سدیک-پاتسیک) ناشی از برهم‌کنش گرمابی‌ها و سنگ در برگیرنده شده است.

واژه‌های کلیدی: کانسارهای آهن-آپاتیت، منطقه‌ی معدنی بافق، ژئوشیمی، عناصر نادر خاکی، بررسی‌های رادیوایزوتوپی.

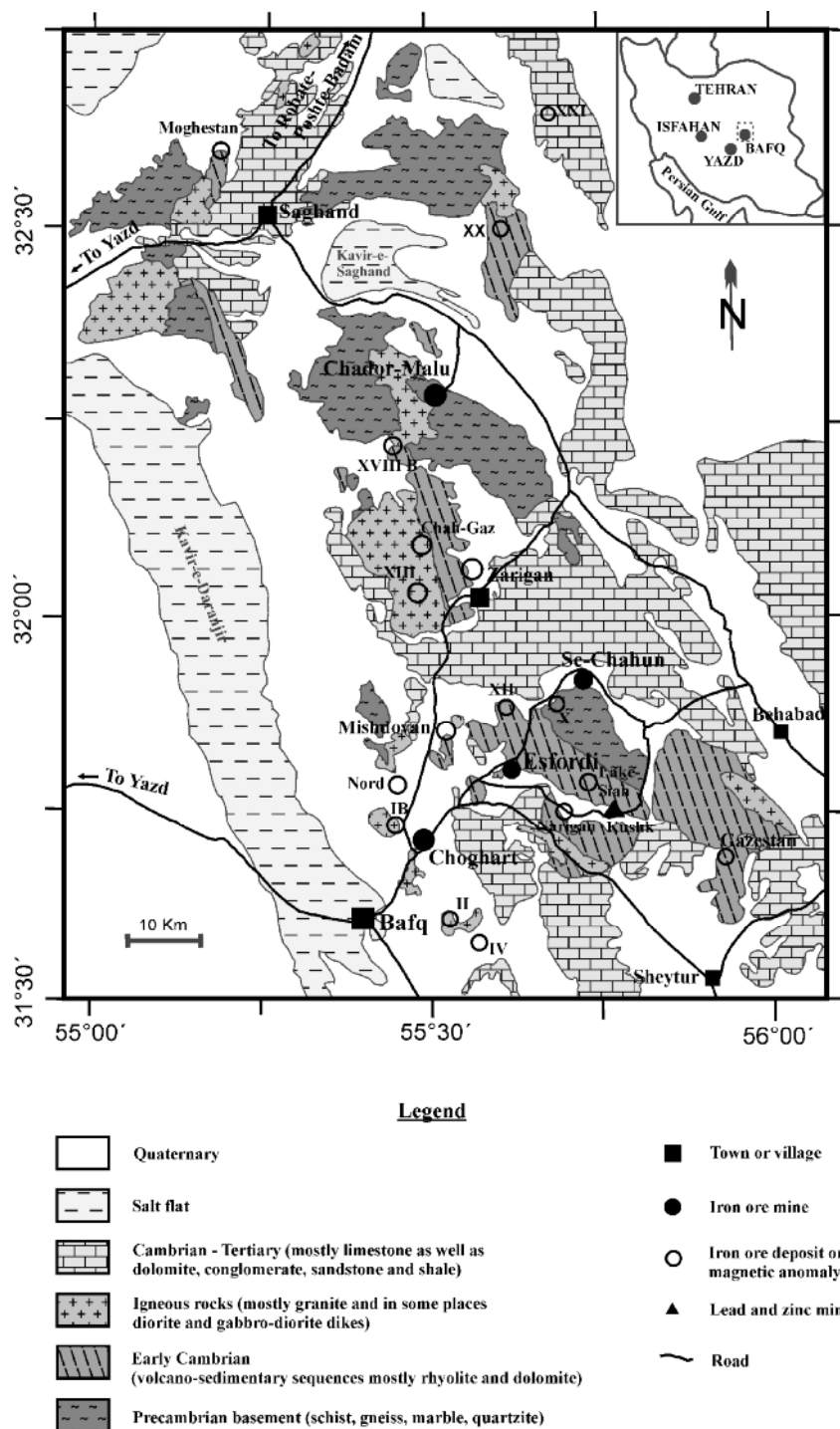
محلی با ترکیب گابرو-دیوریت نیز در منطقه مشاهده می‌شوند. شکل ۱ نقشه زمین‌شناسی منطقه بافق و موقعیت کانسارها و بی‌亨جاری‌های اصلی را نشان می‌دهد [۲،۱]. در اغلب کانسارهای آهن و آپاتیت منطقه بافق، دگرسانی شدید سنگ دیواره مشاهده می‌شود. شدت دگرسانی در بعضی از نقاط به حدی است که ترکیب سنگ‌شناسی اولیه کاملاً محو شده است به گونه‌ای که این سنگ‌های محلی را دگرنهادی^۱ نامیده‌اند. نوع و شدت دگرسانی بستگی به ترکیب اولیه سنگ دیواره، ترکیب محلول کانساز و عمق قرارگیری دارد. ویژگی دگرسانی همراه با کانسارهای آهن موجود، نشانه‌ای بر نقش فرآیندهای گرمابی و جانشینی‌های دگرنهادی در تشکیل ذخایر این منطقه

مقدمه
منطقه‌ی معدنی بافق حاوی ذخایر غنی از آهن و آپاتیت با مجموع بیش از ۱/۵ میلیارد تن ذخیره‌ی زمین‌شناسی است. واحدهای سنگی در برگیرنده‌ی کانی‌سازی همزمانی‌های آتشفسانی-رسویی به سن کامبرین زیرین است. سنگ‌های آتشفسانی موجود اساساً ریولیتی، ریوداسیتی بوده و در بخش‌هایی از منطقه به صورت بازالتهای اسپیلیتی محلی نیز دیده می‌شوند. جنس واحدهای رسویی این همزمانی بیشتر دولومیتی است. در بعضی از مناطق واحدهای آتشفسانی-رسویی با نفوذی‌های کامبرین زیرین قطع شده‌اند. این سنگ‌های نفوذی بیشتر ترکیبی گرانیتی داشته ولی برخی توده‌های نفوذی

*نویسنده مسئول، تلفن: ۰۳۵۱ (۸۲۱۰۹۹۵)، پست الکترونیکی: fmitorab@yazduni.ac.ir

دگرسانی پتاسی (تشکیل فلدسپات پتاسیم و سریسیت) و اغلب در مناطق سطحی تر، و دگرسانی ترمولیت- آکتینولیت نیز ناشی از دگرنهادی سنگ‌های دولومیتی محلی در منطقه دیده می‌شوند.^[۳]

است. دگرسانی سنگ دیواره در این کانسارها از یک الگوی خاص پیروی می‌کند به گونه‌ای که دگرسانی‌های مشاهده شده در مقیاس ناحیه‌ای به شکل دگرسانی سدیک (تشکیل آبیت) و اغلب در اعماق بیشتر بوده و دگرسانی‌های مشاهده شده در مقیاس محلی و در ارتباط نزدیک با منطقه‌ی کانی‌سازی از نوع



شکل ۱ نقشه‌ی زمین‌شناسی منطقه‌ی بافق و موقعیت کانسارها و بی‌亨جاری‌های اصلی [۲,۱].

گرمابی گستردده، سنگ‌های آتشفسانی موجود در منطقه را تکیلومترها تحت تأثیر دگرسانی قرار داده است به گونه‌ای که ترکیب اصلی سنگ‌های در برگیرنده به ویژه نزدیک به مناطق اصلی کانی‌سازی به کلی دستخوش تغییر شده است، لذا یکسان بودن نوع الگوی توزیع عناصر نادر خاکی در کانه و سنگ‌های آتشفسانی در برگیرنده که دگرسانی آن‌ها حتی تا کیلومترها دورتر از زون کانی‌سازی گسترش یافته، امری عادی است و قادر نخواهد بود به عنوان یک روش منطقی در تعیین خاستگاه این ذخایر قلمداد شود.

امروزه با استفاده از آنالیز ایزوتوپ‌های رادیواکتیو Sm-Nd و با علم به اینکه با وجود متحرک بودن عناصر نادر خاکی در محیط‌های گرمابی، ایزوتوپ‌های آن‌ها دستخوش تغییر نمی‌شوند، به راحتی می‌توان به خاستگاه این ذخایر دست یافت [۱۰]. در این مقاله سعی شده است تا با بهره‌گیری از روش‌های ژئوشیمیابی و بررسی ایزوتوپ‌های رادیواکتیو Sm-Nd به ردگیری خاستگاه آپاتیت‌های موجود به عنوان اصلی‌ترین کانی در برگیرنده‌ی عناصر نادر خاکی در منطقه پرداخته شود.

روش بررسی

بیش از ۱۰۰ نمونه‌ی سطحی و عمیق (مغزه‌های حفاری) از کانسنگ (مگنتیت-آپاتیت) و سنگ‌های آذرین در برگیرنده از سه معدن چغارت، چادرملو و اسفوردی طی چند مرحله کار صحرایی برداشت شدند. با تهیه بیش از ۴۰ مقطع نازک و صیقلی در دانشگاه فنی کلاستهال آلمان، نمونه‌ها مورد بررسی دقیق سنگ‌شناسی و کانه‌نگاری قرار گرفتند. برای بررسی‌های ژئوشیمیابی، آنالیز دستگاهی با پرتو X فلئورسان (XRF) برای شناسایی اجزای اصلی سازنده نمونه‌ها در سازمان زمین‌شناسی آلمان (هانوفر) و آنالیزهای ICP و INAA برای Actlabs شناسایی عناصر فرعی، و نادر خاکی در آزمایشگاه کانادا انجام گرفت [۳]. تعدادی از نمونه‌ها برای آنالیز روی کانی آپاتیت انتخاب شده و با دستگاه ریزپردازندی الکترونی (EMPA) در دانشگاه فنی کلاستهال آلمان تجزیه شدند. تجزیه‌های ایزوتوپی Sm-Nd روی ۸ نمونه در آزمایشگاه Isotope Geochronology and Geochemistry Precambrian Geology and Geochronology آنستیتو آکادمی علوم سنتپترزبورگ روسیه صورت گرفت.

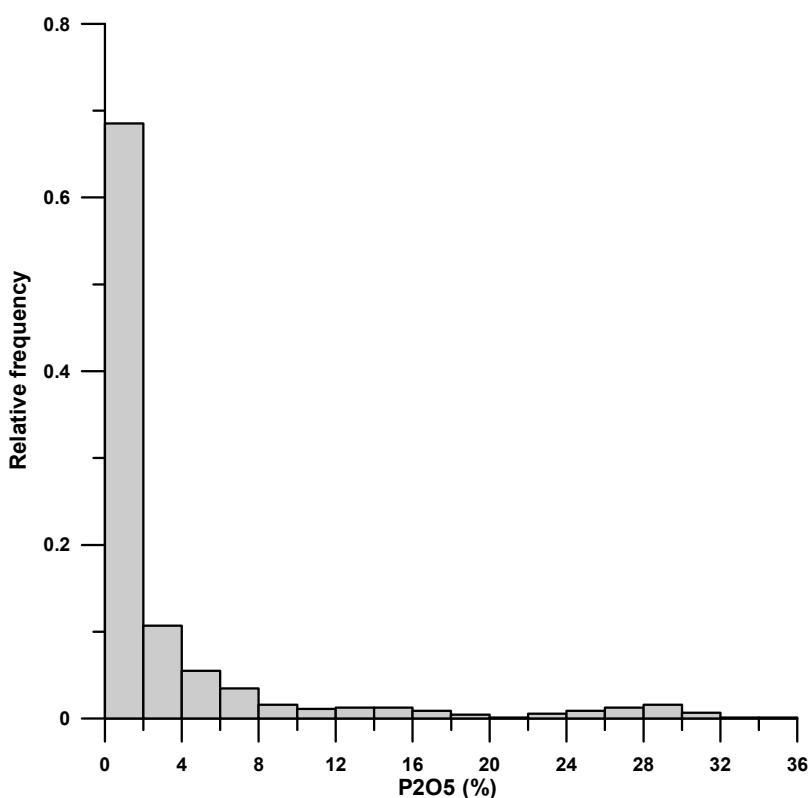
کانه‌ی اصلی آهن در این ذخایر به شکل مگنتیت و گاهی هماتیت (هماتیت اولیه و یا ثانویه به شکل مارتیت) بوده و آپاتیت به عنوان کانی فرعی در اغلب ذخایر مشاهده می‌شود. کانه‌های سولفیدی در این ذخایر یا وجود نداشته‌اند و یا کمیابند که می‌تواند دلیلی بر تشکیل این ذخایر در شرایط کاملاً اکسایشی باشد. میزان آپاتیت در این ذخایر بسیار متنوع است بگونه‌ای که معدن چغارت با میانگین عیار آهن ۶۰ درصد حاوی P_2O_5 درصد P_2O_5 بوده و معدن چادرملو با ۵۵ درصد آهن حاوی $2/15 P_2O_5$ است. این در حالی است که میزان P_2O_5 در برخی ذخایر از جمله کانسار اسفوردی به طور متوسط به $13/9 P_2O_5$ درصد می‌رسد، بگونه‌ای که در این معدن و کانسار گرستان رگه‌های خالصی از آپاتیت با بیش از $35 P_2O_5$ یافت می‌شود [۳]. اولین سوالی که در اینجا مطرح می‌شود این است که چرا توزیع آپاتیت در ذخایر مختلف این منطقه متفاوت است و فسفر در این ذخایر از عیار نسبتاً ثابتی برخوردار نیست؟

در خصوص چگونگی تشکیل این ذخایر نظرهای متفاوتی از جمله ماقمایی و آتشفسانی [۴،۲]، با خاستگاه ماقماهای کربناتیتی [۵،۲]، گرمابی‌ها [۷،۶،۳] و بالاخره خاستگاه BIF [۸] ارائه شده‌اند، ولی تاکنون خاستگاه دقیقی برای عناصر اصلی سازنده، یعنی Fe و P، مشخص نشده است. در سال‌های گذشته با فرض نامتحرک بودن عناصر نادر خاکی از الگوی توزیع این عناصر در کانسنگ و یا کانی آپاتیت برای رديابی خاستگاه ذخایر مگنتیت-آپاتیت استفاده شده است [۹،۶]. برخی از پژوهشگران از تشابه الگوی توزیع این عناصر و سنگ-های آتشفسانی در برگیرنده استفاده کرده و آن را دلیلی بر ماقمایی بودن این نوع ذخایر دانسته‌اند [۹]، حال آنکه این عناصر می‌توانند در بسیاری از محیط‌ها به خصوص محیط‌های گرمابی کاملاً متحرک باشند. از طرف دیگر وجود هاله‌های گستردده‌ی دگرسانی در این ذخایر از جمله دگرسانی سدیک (آلبیتی شدن) در مقیاس ناحیه‌ای و دگرسانی پتسی و سریسیتی، و اکتینولیتی شدن در مقیاس محلی و وجود ساختارهای رگه‌ای مگنتیت و آپاتیت در پیرامون توده‌های معدنی موجود، مؤید نقش فرآیندهای گرمابی و جانشینی‌های دگرنهادی در تشکیل این ذخایر است [۳]. این فرآیندهای

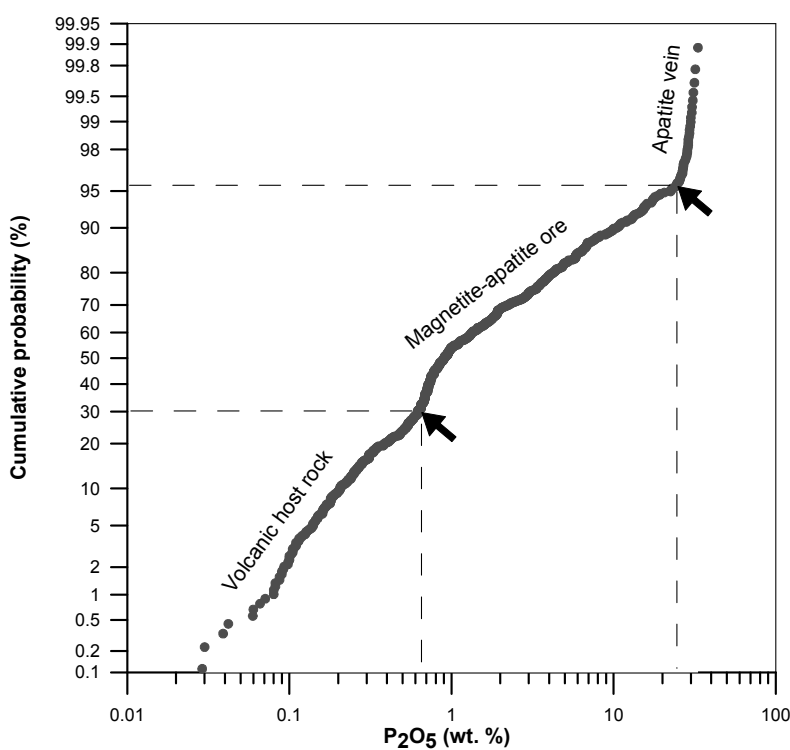
رگه‌های خالص آپاتیت با توزیع فسفر موجود در سنگ‌های آذرین (سنگ‌های آتشفشنای دربرگیرنده) اساساً متفاوت است. آنالیز ژئوشیمیایی آپاتیتها با ریزپردازندۀ الکترونی (EMPA) (جدول ۱) نشان داد که آپاتیتها‌ی یاد شده از نوع فلورآپاتیت با مقدار جزئی یون کلر و هیدروکسیل است. با توجه به جدول ۱ میزان عناصر نادر خاکی (Ce_2O_3 و La_2O_3) در آپاتیتها نسبتاً بالا است. میزان Sr در این آپاتیتها کمتر از 700 ppm (٪) است لذا تشکیل آن‌ها را از یک مagma کربناتی نفی می‌کند، زیرا برسی‌های متعددی نشان داد که آپاتیتها‌ی وابسته به ذخایر کربناتی بیش از 2000 ppm Sr دارند [۱۲]. از طرف دیگر شکل ۴ نشان می‌دهد که با توجه به نمودار مرجع از منبع [۱۳] و آنالیزهای انجام شده -EMPA، آپاتیتها‌ی منطقه بافق شباهت زیادی به فسفریت- را روی $\text{Mn}-\text{Sr}$ نظر محتوا دارند و می‌توانند از فسفریت‌های رسوبی هم عصر و یا قدیمی‌تر ریشه گرفته باشند. این مسئله با بررسی‌های ایزوتوبی که در پی می‌آید به اثبات رسیده است.

بررسی‌های ژئوشیمی

توزیع فسفر در ذخایر آهن منطقه‌ی بافق نشان می‌دهد که این عنصر از پراکندگی یکسان پیروی نمی‌کند و حتی توزیع آن در درون یک کانسار نیز موید وجود انبوه‌های ژئوشیمیایی است. به عنوان نمونه، توزیع فراوانی P_2O_5 در معدن فسفات اسفوردی، به عنوان یکی از معادن با میزان فسفر بالا در منطقه، مورد بررسی قرار گرفت. شکل ۲ نمودار توزیع فراوانی P_2O_5 را در ۸۹۰ نمونه از مغزه‌های حفاری این معدن نشان می‌دهد. این نمودار دلالت بر نمایی بودن مدل توزیع و چند مجموعه‌ای بودن اطلاعات دارد. برای شناخت بهتر چگونگی انبوه‌های آماری، توزیع [انبوهی] مقادیر در مقایسه لگاریتمی رسم شد (شکل ۳). این نمودار نشان می‌دهد که میزان فسفر در سنگ‌های مختلف به صورت گستردگی از کمتر از 0.65 درصد P_2O_5 در سنگ‌های دربرگیرنده (سنگ‌های آتشفشنای) تا بیش از 25 درصد (حداکثر تا 35 درصد P_2O_5) در رگه‌های آپاتیت تغییر می‌کند و سه مجموعه‌ی ژئوشیمیایی را نمایان می‌سازد. این نمودار نشان می‌دهد که توزیع فسفر در کانسنگ، به ویژه در



شکل ۲ نمودار ستونی فراوانی P_2O_5 در ۸۹۰ نمونه از مغزه‌های حفاری در معدن اسفوردی (داده‌ها از آنالیزهای قبلی انجام شده روی مغزه‌های حفاری معدن گرفته شده است).

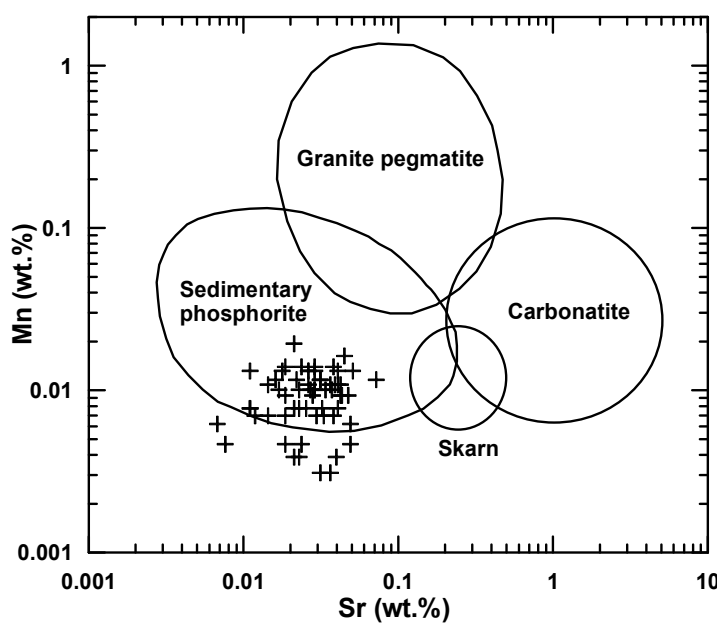


شکل ۳ نمودار فراوانی انبوهی توزیع P_2O_5 در مقیاس لگاریتمی از نمونه‌های مغذه‌های حفاری معدن اسفورودی.

جدول ۱ نمونه‌ای از نتیجه آنالیز شیمیایی آپاتیت‌های منطقه بافق با ریزپردازندۀ الکترونی (EMPA) (تمامی غلظت‌ها بر حسب درصد است).

Sample	۱	۲	۳	۴	۵	۶	۷	۸	۹	۱۰
CaO	۵۵.۲۲	۵۳.۹۷	۵۵.۰۷	۵۴.۶۵	۵۴.۲۶	۵۴.۸۲	۵۴.۷۶	۵۴.۶۴	۵۴.۷۱	۵۴.۷۶
P_2O_5	۴۱.۴۹	۴۱.۲۳	۴۱.۵۷	۴۱.۶۵	۴۰.۲۴	۴۰.۹۲	۴۱.۰۰	۴۰.۸۰	۴۰.۸۰	۴۱.۰۴
Na ₂ O	۰.۲۴	۰.۳۹	۰.۲۸	۰.۲۷	۰.۴۱	۰.۳۱	۰.۴۰	۰.۳۳	۰.۳۰	۰.۲۵
MgO	۰.۱۰۴	۰.۰۱	۰.۰۲	۰.۰۸	۰.۰۳	۰.۰۶	۰.۰۴	۰.۰۷	۰.۰۹	۰.۱۳
SiO ₂	۰.۱۳	۰.۲۴	۰.۱۷	۰.۱۶	۰.۲۹	۰.۲۴	۰.۲۴	۰.۲۳	۰.۲۶	۰.۲۳
SrO	۰.۰۵	۰.۰۴	۰.۰۴	۰.۰۳	۰.۰۳	۰.۰۳	۰.۰۳	۰.۰۲	۰.۰۱	۰.۰۳
Nb ₂ O ₃	۰.۰۲	nd	۰.۰۲	nd	۰.۰۳	nd	۰.۰۲	nd	nd	۰.۰۴
Y ₂ O ₃	۰.۱۴	۰.۲۲	۰.۲۰	۰.۱۳	۰.۲۵	۰.۲۴	۰.۱۷	۰.۲۲	۰.۱۵	۰.۱۶
La ₂ O ₃	۰.۲۵	۰.۴۰	۰.۲۴	۰.۳۱	۰.۴۵	۰.۳۸	۰.۳۱	۰.۳۷	۰.۳۵	۰.۳۱
MnO	۰.۰۱	۰.۰۲	۰.۰۲	۰.۰۱	nd	۰.۰۱	۰.۰۲	۰.۰۱	۰.۰۱	۰.۰۱
Ce ₂ O ₃	۰.۵۸	۰.۹۵	۰.۵۵	۰.۷۰	۱.۰۱	۰.۸۹	۰.۷۷	۰.۹۶	۰.۸۳	۰.۷۵
F	۲.۵۱	۲.۶۸	۲.۷۰	۲.۵۷	۲.۶۶	۲.۲۵	۲.۵۱	۲.۶۸	۲.۶۱	۲.۲۱
Cl	۰.۶۲	۰.۵۳	۰.۴۶	۰.۶۰	۰.۵۰	۰.۶۰	۰.۵۲	۰.۷۰	۰.۷۸	۰.۶۸
<i>Sum</i>	۱۰۱.۳۰	۱۰۰.۶۶	۱۰۱.۳۲	۱۰۱.۱۶	۱۰۰.۱۴	۱۰۰.۷۵	۱۰۰.۷۸	۱۰۱.۰۳	۱۰۰.۸۹	۱۰۱.۵۹
- O ≡ F+Cl	۱.۲۰	۱.۲۵	۱.۲۴	۱.۲۱	۱.۲۳	۱.۰۸	۱.۱۷	۱.۲۹	۱.۲۷	۱.۵۰
<i>Total</i>	۱۰۰.۱۰	۹۹.۴۱	۱۰۰.۰۸	۹۹.۹۵	۹۸.۹۱	۹۹.۶۷	۹۹.۶۱	۹۹.۷۴	۹۹.۶۲	۱۰۰.۰۹

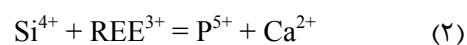
ثبت نشده است = nd



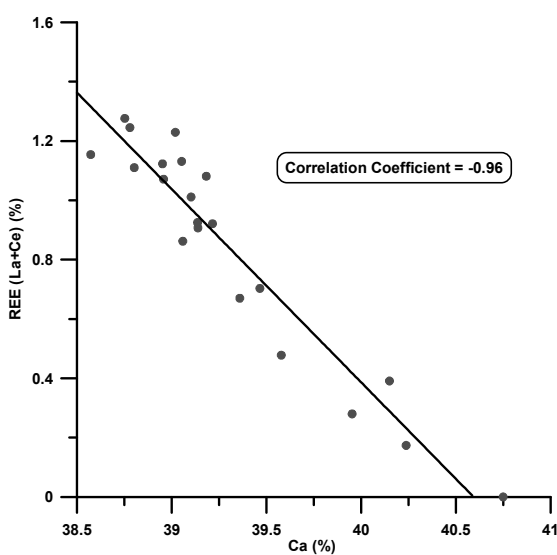
شکل ۴ تعیین خاستگاه آپاتیت‌های منطقه‌ی بافق با استفاده از آنالیز Mn و Sr در آپاتیت‌ها با بهره‌گیری از سیستم EMPA، نمودار مرجع از [۱۳] Hogarth.

بخش بزرگی از عناصر نادر خاکی از فسفریت‌های رسوبی هم عصر تامین شده است و بی‌هنگاری منفی Eu در کانسنتراشنگ نیز از این فسفریت‌ها به ارث رسیده است (شکل ۷)، ولی بخش دیگری از عناصر نادر خاکی می‌تواند در اثر شستشوی این عناصر از توده‌های نفوذی آذرین (به خصوص گرانیت‌ها) در اثر فعالیت‌های گرمابی و تمرکز آن در شبکه‌ی آپاتیت در حین نهشته شدن آن باشد [۳]. این سنگ‌های نفوذی گرانیتی عامل اصلی و موتور گرمایی فعالیت‌های گرمابی عظیم در منطقه بوده و خود دستخوش دگرسانی شدید سدیک شده‌اند. این دگرسانی بخش مهمی از عناصر نادر خاکی را از ترکیب گرانیت‌ها شسته به گونه‌ای که نسبت به این عناصر تهی شدگی نسبی یافته‌اند. بر عکس، سنگ‌های نفوذی گرانیتی بی‌هنگاری مثبت Eu نشان می‌دهند که نشان دهنده‌ی جانشینی Eu در شبکه‌ی Ca پلازیوکلاز حین آلبیتی شدن این گرانیت‌هاست [۳]. بدین شکل بی‌هنگاری منفی Eu در کانسنتراشنگ به طور منطقی توجیه‌پذیر خواهد بود. در بسیاری از آپاتیت‌های موجود در منطقه، کانی مونازیت به صورت انکلوزیون و یا به شکل کانی مستقل مشاهده می‌شود (شکل ۶). سال سنجی کانسارت با استفاده از روش Th-U-Pb روی مونازیت‌های یاد شده، سن 515 ± 21 میلیون سال را برای کانی‌سازی در منطقه نشان داده است [۱۱] که نشان دهنده‌ی تشکیل کانسارت در کامبرین زیرین است.

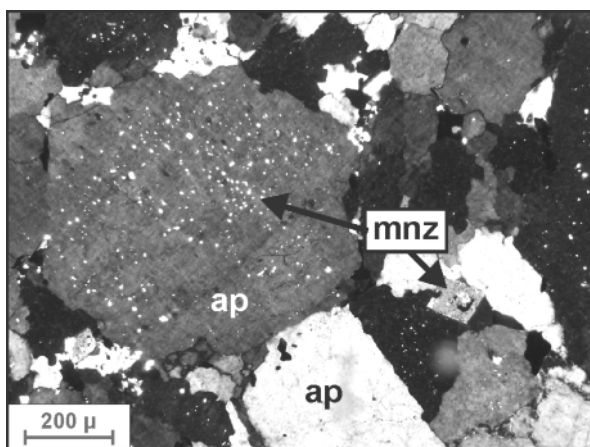
آپاتیت‌های منطقه‌یمعدنی بافق از نظر محتوای عناصر نادر خاکی (REE) نسبتاً غنی هستند. در شکل ۵ همبستگی بین میزان Ca و مجموع REE در این آپاتیت‌ها نشان داده شده است. چنانکه ملاحظه می‌شود، افزایش میزان REE در شبکه‌ی آپاتیت با کاهش میزان Ca در آن همخوان است. در واقع عناصر نادر خاکی جانشین کلسیم در شبکه‌ی آپاتیت شده‌اند. جانشینی عناصر نادر خاکی به جای Ca در شبکه‌ی آپاتیت می‌تواند بر اساس واکنش‌های دوگانه زیر بیان شود. در این واکنش‌های جانشینی، توازن بار الکتریکی در شبکه‌ی آپاتیت با یون‌های Na^+ و Si^{4+} برقرار می‌شود [۱۴، ۱۵].



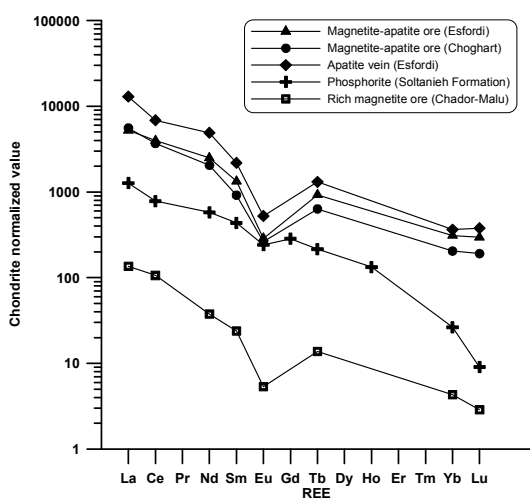
علاوه بر آن عناصر نادر خاکی به شکل کانی مستقل یعنی مونازیت (Monazite) که آن هم یک کانی فسفاتی است نیز تبلور یافته‌اند (شکل ۶). در شکل ۷ نمودار عنکبوتی ترسیمی، چگونگی الگوی توزیع عناصر نادر خاکی در کانسنتراشنگ‌های مختلف مگنتیت-آپاتیت منطقه‌یمعدنی بافق در مقایسه با یک نمونه از فسفریت از سازند سلطانیه را نشان می‌دهد. تمامی نمونه‌ها یک بی‌هنگاری روشمنفی در Eu نشان می‌دهند. با افزایش میزان فسفر (آپاتیت) در نمونه‌ها، میزان کل REE بیشتر ولی بی‌هنگاری منفی در Eu تشدید می‌شود. اگرچه



شکل ۵ نمودار همبستگی میزان Ca و مجموع REE در آپاتیت‌های منطقه بافق (همبستگی منفی بالا ناشی از جانشین شدن عناصر نادر خاکی به جای کلسیم در شبکه‌ی آپاتیت است).



شکل ۶ بلورهای ریز مونازیت (mnz) به شکل درونگیر در آپاتیت (ap) و رشد بلور خودشکل آن همراه با آپاتیت (نور XPL).



شکل ۷ نمودار عنکبوتی نشان دهنده‌ی تغییرات عناصر نادر خاکی در کانسنس‌های مختلف مگنتیت-آپاتیت منطقه‌ی معده‌ی بافق در مقایسه با یک نمونه از فسفریت سازند سلطانیه.

آشکارا نشان دهندهی آن است که هیچ ارتباط زایشی مشخصی از نظر خاستگاه عناصر کانسارساز با سنگ‌های آذرین موجود در منطقه به خصوص برای رگه آپاتیتی وجود ندارد.

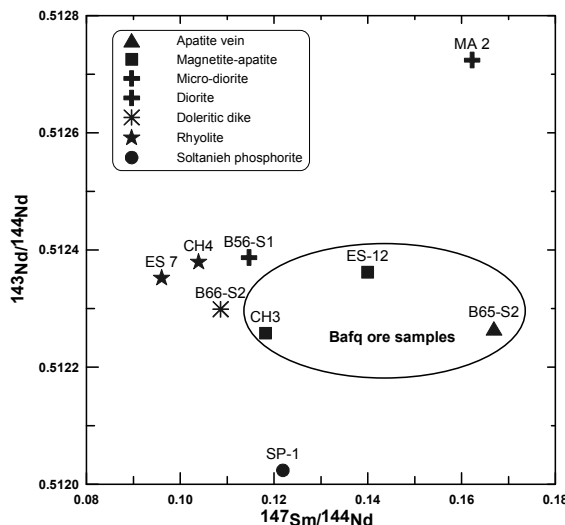
برای بررسی بیشتر، میزان ϵ_{Nd} در کانسنگ آپاتیتی منطقه-ی بافق با فسفریت موجود در سازند سلطانیه (هم عصر کانی-سازی) مقایسه شدند. تشابه نزدیک در میزان ϵ_{Nd} می‌تواند مؤید این باشد که آپاتیت‌های منطقه‌یمعدنی بافق می‌توانند از فسفریت‌های هم عصر و یا قدیمی‌تر خود در اثر فرآیندهای گرمابی ریشه گرفته باشد. با اضافه شدن جزء آهن موجود در کانسنگ (مگنتیت-آپاتیت)، میزان ϵ_{Nd} افزایش یافته و حالت بینایینی بین آپاتیت خالص (با خاستگاه سنگ‌های پوسته‌ای) و سنگ‌های آذرین با ϵ_{Nd} مثبت (با خاستگاه سنگ‌های گوشه-ای) پیدا می‌کند که می‌تواند نشانه‌ای بر احتمال خاستگاه آهن از سنگ‌های آذرین باشد.

بررسی‌های ایزوتوپی Sm-Nd

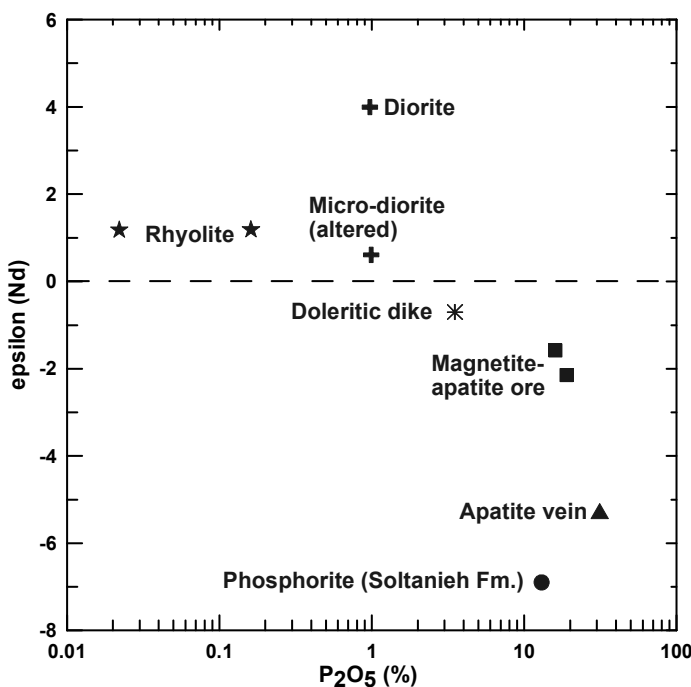
تعداد ۸ نمونه از کانسنگ و سنگ در برگیرندهی تعدادی از ذخایر، انتخاب و برای ایزوتوپ‌های Sm و Nd آنالیز شدند. مشخصات نمونه‌ها و نتیجه‌ی آنالیزهای انجام شده در جدول ۲ آمده‌اند. نمودار شکل ۸ مقدار $^{147}\text{Sm}/^{144}\text{Nd}$ را نسبت به $^{143}\text{Nd}/^{144}\text{Nd}$ نشان می‌دهد. پراکندگی مقادیر نشان می‌دهد که نمونه‌ها از نظر ترکیب ایزوتوپ‌های یاد شده کاملاً متفاوتند. با در نظر گرفتن سن یکسان برای نمونه‌ها، پراکندگی موجود تنها می‌تواند ناشی از نسبت ایزوتوپی اولیه Nd متفاوت برای سنگ‌های یاد شده در اثر ناهمجنیسی و عدم ارتباط زایشی آن‌ها باشد. محاسبه‌ی مقدار ϵ_{Nd} نشان می‌دهد که اغلب سنگ‌های آذرین در برگیرندهی کانی‌سازی، مقدار ϵ_{Nd} مثبت ولی کانسنگ موجود (مگنتیت-آپاتیت) به خصوص رگه‌ی خالص آپاتیت، ϵ_{Nd} منفی از خود نشان می‌دهد که در شکل ۹ این مقدار نسبت به میزان $P_2\text{O}_5$ نمونه‌ها دیده می‌شود. این بررسی

جدول ۲ مشخصات و نتایج آنالیز تعداد ۸ نمونه از کانسنگ و سنگ‌های در برگیرندهی تعدادی از ذخایر منطقه‌ی بافق انتخاب شده برای آنالیز ایزوتوپ‌های Sm و Nd (اطلاعات ایزوتوپی فسفریت سلطانیه از منبع شماره [۱۷] گرفته شده است).

Sample No.	Deposit	Rock Type	Sm (ppm)	Nd (ppm)	$^{147}\text{Sm}/^{144}\text{Nd}$	$^{143}\text{Nd}/^{144}\text{Nd}$	$\pm 2 \sigma$	$\epsilon_{Nd(t)}$
MA2	Chador-Malu	Diorite	۱۳.۳۳	۵۰.۳۹	.۰۱۶۲۲۳	.۰۵۱۲۷۷۴	۵	۴.۰۰
CH4	Choghart	Rhyolite	۶.۹۸۶	۴۰.۶۴	.۰۱۰۳۹۱	.۰۵۱۲۳۸۰	۳	۱.۱۸
ES7	Esfandi	Rhyolite	۲۶.۴۲	۲۲.۹۳	.۰۱۹۶۰۰	.۰۵۱۲۳۵۲	۳	۱.۱۸
B56-S1	Esfandi	Micro-diorite	۱۳.۹۱	۷۷.۳۳	.۰۱۱۴۶۵	.۰۵۲۳۸۷	۴	-۰.۶۱
B66-S2	Esfandi	Doleritic dyke	۵۹.۶۲	۳۳۱.۸	.۰۱۰۸۵۹	.۰۵۱۲۲۹۹	۴	-۰.۷۰
ES-12	Esfandi	Magnetite-apatite	۱۱۵.۰	۴۹۶.۷	.۰۱۳۹۹۴	.۰۵۱۲۲۶۲	۴	-۱.۵۸
CH3	Choghart	Magnetite-apatite	۱۷۴.۴	۸۹۲.۲	.۰۱۱۸۱۴	.۰۵۱۲۲۵۸	۳	-۲.۱۴
B65-S2	Esfandi	Apatite vein	۲۸۱.۲	۱۳۸.۰	.۰۱۶۶۸۹	.۰۵۱۲۲۶۶	۶	-۵.۲۶
SP-1	Soltanieh Fm.	Phosphorite	۷۱.۰۶	۳۵۲.۷	.۰۱۲۱۸۷	.۰۵۱۲۰۲۴	۱۱	-۶.۹۰



شکل ۸ نمودار تغییرات نسبت ایزوتوپی $^{147}\text{Sm}/^{144}\text{Nd}$ نسبت به $^{143}\text{Nd}/^{144}\text{Nd}$ برای نمونه‌های مختلف از منطقه‌ی بافق (اطلاعات ایزوتوپی فسفریت سلطانیه از منبع شماره [۱۷] گرفته شده است).



شکل ۹ تغییرات ϵ_{Nd} نسبت به محتوای P_2O_5 در سنگ‌ها و کانسنسنگ‌های مختلف منطقه‌ی بافق.

کامبرین زیرین در بافق) مشاهده شده است [۱۷] و به نظر می‌رسد بخش عظیمی از فسفریت‌های رسوبی منطقه‌ی بافق طی فرآیندهای گرمابی در کامبرین زیرین اتحلال دوباره یافته و از افق‌های رسوبی شسته شده‌اند. این پژوهش نشان می‌دهد که آپاتیت‌های منطقه‌ی بافق می‌توانند در اثر شستشوی گرمابی گسترده‌ی فسفریت‌های رسوبی، ناشی از القای گرمابی توده‌های نفوذی کامبرین زیرین و نهشته شدن آن‌ها به صورت رگه‌های گرمابی به همراه با ذخایر عظیم آهن در منطقه به وجود آمده باشند. با بهره‌گیری از این مدل، تنوع در توزیع و پراکندگی آپاتیت در منطقه به طور منطقی توجیه‌پذیر است. به گونه‌ای که در نواحی که نهشته‌های فسفریت رسوبی با گسترش و ذخیره بیشتر وجود داشته، در اثر فعالیت‌های گرمابی شرایط برای تشکیل رگه‌های پر عیار آپاتیت (اسفورودی، گرستان) همراه با توده‌های آهن‌دار مهیا بوده است و در ذخایر دیگر شاید به دلیل گسترش و ذخیره کمتر فسفریت‌ها یا عدم وجود آن‌ها، کانسارهای آهن با میزان فسفر کمتری (چغارت، چادرملو) شکل گرفته‌اند.

قدرتدازی

لازم است تا از مدیریت و کارشناسان شرکت‌هایمعدنی سنگ آهن مرکزی بافق (معدن چغارت)، معادن چادرملو و اسفورودی

برداشت کانسارهای آهن-آپاتیت منطقه‌یمعدنی بافق از عناصر نادر خاکی به خصوص نادر خاکی سیک (LREE) غنی هستند. سنگ‌های در برگیرنده‌ی این ذخایر در مقیاس ناحیه‌ای دگرسانی سدیک (آلبیتی شدن)، و در مقیاس محلی با توجه به ترکیب سنگ دیواره، دگرسانی‌های پتانسی (فلدسبار پتانسیم و سریسیتی شدن) و یا اکتینولیتی شدن از خود نشان می‌دهند. نحوی شکل گیری ذخایر، ارتباط آن‌ها با سنگ دیواره و دگرسانی‌های موجود دلالت بر فعالیت‌های گرمابی در این ذخایر دارد. برخی پژوهشگران نقش شاره‌های سور حاصل از رسوب‌های تبخیری را به عنوان شاره‌ی حامل در شکل گیری این ذخایر دخیل دانسته‌اند [۱۱، ۱۲]. بررسی‌های ژئوشیمیایی و ایزوتوپی Sm-Nd در این پژوهش نشان می‌دهد که خاستگاه آپاتیت در این ذخایر می‌تواند از رسوب‌های پوسته‌ای به خصوص فسفریت‌های موجود در افق‌های رسوبی نئوپروتزوژئیک - کامبرین زیرین باشد. گرچه فسفریت‌های رسوبی با این سن در منطقه‌ی بافق کمیابند ولی وجود ذخایر عظیم فسفریت در این سن در نقاط دیگر ایران و در بسیاری از کشورهای حاشیه گندوانا تأیید شده است [۱۷، ۱۶]. کما اینکه ذخایر از این نوع در سازند سلطانیه (معادل سازندهای

- [9] Frietsch R., Perdahl J.A., "Rare earth elements in apatite and magnetite in Kiruna-type iron ores and some other iron ore types", *Ore Geology Reviews* 9 (1995) 489-510.
- [10] Gleason J.D., Marikos M.A., Barton M.D., Johnson D.A., "Neodymium isotopic study of rare earth element sources and mobility in hydrothermal Fe oxide (Fe-P-REE) systems", *Geochimica et Cosmochimica Acta* 64 (2000) 1059-1068.
- [11] Torab F.M., Lehmann B., "Magnetite-apatite deposits of the Bafq district, Central Iran: apatite geochemistry and monazite geochronology", *Mineralogical Magazine* 71 (2007) 347-363.
- [12] Belousova E.A., Griffin W.L., O'Reilly S.Y., Fisher N.I., "Apatite as an indicator mineral for mineral exploration : trace-element compositions and their relationship to host rock type", *Journal of Geochemical Exploration* 76 (2002) 45-69.
- [13] Hogarth D.D., "Pyrochlore, apatite and amphibole: distinctive minerals in carbonatite, in Bell, K. ed., *Carbonatites: genesis and evolution*", Unwin Hyman, London, (1989) 105-148.
- [14] Harlov D.E., Andersson U.B., Forster H.J., Nystrom J.O., Dulski P., Broman C., "Apatite-monazite relations in the Kiirunavaara magnetiteapatite ore, northern Sweden", *Chemical Geology* 191 (2002) 47-72.
- [15] Roeder P.L., MacArthur D., Ma X.P., Palmer G.R., Mariano A.N., "Cathodoluminescence and microprobe study of rare-earth elements in apatite", *American Mineralogist* 72 (1987) 801-811.
- [16] Holland H.D., "Sedimentary mineral deposits and the evolution of earth's near-surface environment", *Economic Geology* 100 (2005) 1489-1509.
- [17] Felitsyn S.B., Gubanov A.P., "Nd isotope composition of early Cambrian discrete basins", *Geological Magazine* 139 (2002) 159-169.

به خاطر همکاری لازم و فراهم آوردن امکان برداشت های صحرایی و نمونه برداری از معادن، تشكرو قدردانی شود. از پروفسور برند لهمن (Bernd Lehmann) از انتستیتو کانی شناسی و منابع معدنی دانشگاه فنی کلاستهال آلمان به خاطر همکاری در به ثمر رسیدن این طرح و پشتیبانی مالی در زمینه آنالیز نمونه ها سپاسگزاری شود. دکتر بوریس بلیاتسکی (Boris Belyatsky) از آکادمی علوم روسیه عهده دار آنالیز رادیو ایزوتوپی Sm-Nd بوده که بدینوسیله از وی قدردانی می شود.

مراجع

- [1] Haghipour A., "Geological map of the Biabanak-Bafq area (scale 1:500,000)", Geological Survey of Iran (1977).
- [2] Forster H., Jafarzadeh A., "The Bafq mining district in Central Iran - a highly mineralized Infracambrian volcanic field", *Economic Geology* 89 (1994) 1697-1721.
- [3] Torab F.M., "Geochemistry and metallogenesis of magnetite-apatite deposits of the Bafq Mining District, Central Iran", PhD thesis, Technical University of Clausthal (2008) 131p.
- [4] Daliran F., "The magnetite-apatite deposit of Mishdovan, East Central Iran. An alkali rhyolite hosted, Kiruna type occurrence in the Infracambrian Bafq metallocore (mineralogic, petrographic and geochemical study of the ores and the host rocks)", Ph.D. thesis, Heidelberg, Heidelberger Geowissenschaftliche Abhandlungen 37 (1990) 248 p.
- [5] Samani B.A., "Metallogenesis of the Precambrian in Iran", *Precambrian Research* 39 (1988) 85-106.
- [6] Daliran F., "Kiruna-type iron oxide-apatite ores and apatites of the Bafq district, Iran, with an emphasis on the REE geochemistry of their apatites", in Porter, T.M. ed., *Hydrothermal iron oxide copper-gold & related deposits: A global perspective*, PGC Publishing, Adelaide, v.2 (2002) 303-320.
- [7] Jami M., Dunlop A.C., Cohen D.R., "Fluid inclusion and stable isotope study of the Esfordi apatite-magnetite deposit, Central Iran", *Economic Geology* 102 (2007) 1111-1128.
- [8] Aftabi A., Mohseni S., Babekti A., Azraien H., "Fluid inclusion and stable isotope study of the Esfordi apatite-magnetite deposit, Central Iran- A discussion", *Economic Geology* 104 (2009) 137 - 139.